

( $\tau_1$  — сплошные линии, а  $\tau_2$  — штриховые). На рис. 3 кривые 1—4 отвечают  $\eta/\mu = 2$  и  $q_0 = 0,5; 2; 3; 5$ . Кривые 1—4 рис. 4 получены при  $q_0 = 2$  и  $\eta/\mu = 1; 1,5; 2; 6$ .

Результаты расчетов, приведенные на рисунках, показывают, что разбавленная суспензия относительно крупных деформируемых частиц (в отличие от разбавленной суспензии с относительно крупными жесткими частицами) в течении простого сдвига имеет неньютоновское поведение — наличие разностей нормальных напряжений, зависимость реологических характеристик (эффективной вязкости суспензии и разностей нормальных напряжений) от скорости сдвига. Проявление аномальных свойств разбавленной суспензии существенным образом зависит от внутренней вязкости и упругости материала частицы и вязкости дисперсионной среды.

При осуществлении предельного перехода в представленной теории к случаю суспензии твердых сфер характеристическая вязкость суспензии равна 2,5, что совпадает с известной формулой Эйнштейна для вязкости разбавленной суспензии жестких сфер.

#### ЛИТЕРАТУРА

1. Бегоулев П. Б., Шмаков Ю. И. Реологические уравнения состояния слабых растворов полимеров с жесткими эллипсоидальными макромолекулами // ИФЖ.— 1972.— № 23.
2. Придатченко Ю. В., Шмаков Ю. И. Влияние внутренней вязкости и упругости эллипсоидальных макромолекул на реологическое поведение разбавленных растворов полимеров. Реологические уравнения состояния // ПМТФ.— 1976.— № 3.
3. Jeffery G. B. The motion of ellipsoidal particles immersed in a viscous fluid // Proc. Roy. Soc.— 1922.— V. A102, N 715.
4. Einsenschtz R. Der Einfluss der Brownschen Bewegung auf die Viscosität von Suspensionen // Z. Phys. Chem.— 1933.— Bd A163, N 2.
5. Cerf R. Recherches théoriques et expérimentales sur l'effect Maxwell des solutions de macromolécules déformables // J. de Chém. Phys.— 1951.— V. 48, N 1.
6. Roscoe R. On the rheology of a suspension of viscoelastic spheres in a viscous liquid // J. Fluid Mech.— 1967.— V. 28, N 2.
7. Mason S. G., Manley R. St. L. Particle motion in sheared suspensions orientations and interactions of rigid rods // Proc. Roy. Soc.— 1956.— V. A238, N 1212.
8. Hinch E. J., Leal L. G. The effect of Brownian motion on the rheological properties of a suspension of non-spherical particles // J. Fluid Mech.— 1972.— V. 52, N 4.
9. Leal L. G., Hinch E. J. The effect of weak Brownian rotations on particles in shear flow // J. Fluid Mech.— 1971.— V. 46, N 4.
10. Покровский В. Н. Статистическая механика разбавленных суспензий.— М.: Наука, 1978.
11. Вазов В. Асимптотические разложения решений обыкновенных дифференциальных уравнений.— М.: Мир, 1968.
12. Мак-Коннел А. Дж. Введение в тензорный анализ с приложениями к геометрии, механике и физике.— М.: Физматгиз, 1963.

г. Киев

Поступила 27/VII 1988 г.

УДК 532,5

Ю. А. Березин, В. П. Жуков

### КОНВЕКТИВНАЯ НЕУСТОЙЧИВОСТЬ В СРЕДЕ СО СПИРАЛЬНОЙ ТУРБУЛЕНТНОСТЬЮ

В работах Моисеева, Сагдеева, Тура и др. (см. [1] и цитированную там литературу) выдвинута идея, получены соответствующие уравнения и проанализирована возможность генерации крупномасштабных структур при конвективном движении жидкости на фоне развитой спиральной турбулентности, которая однородна, изотропна, но не обладает отражательной инвариантностью. В рамках такой модели случайные возмущения усиливаются, что может привести к возникновению крупных вихрей. Эта ситуация изучена в [1] на примере подогреваемого снизу плоскопараллельного слоя несжимаемой жидкости при схематических (упрощенных) граничных условиях, допу-

скающих аналитическое рассмотрение. Показано, что с увеличением спиральности минимальное критическое число Рэлея уменьшается и горизонтальный размер конвективных ячеек возрастает. При достижении критической спиральности происходит полная перестройка конвективного течения и образуется вихрь, размер которого определяется горизонтальной неоднородностью задачи.

Настоящая работа посвящена подробному изучению на основе уравнений [1] линейной задачи о конвективной неустойчивости подогреваемых снизу бесконечного горизонтального слоя и диска.

Уравнения конвекции для крупномасштабных возмущений при наличии гиротропной турбулентности имеют вид [1]

$$\frac{\partial \mathbf{u}}{\partial t} = -\frac{\nabla p}{\rho_0} + \nu \Delta \mathbf{u} + \beta g \theta \mathbf{e} + \beta g A \lambda \mathbf{f}, \quad \frac{\partial \theta}{\partial t} = A(\mathbf{e} \mathbf{u}) + \chi \Delta \theta, \quad \operatorname{div} \mathbf{u} = 0,$$

$$\mathbf{f} = \mathbf{e}(\mathbf{e} \operatorname{rot} \mathbf{u}) - (\mathbf{e} \nabla)[\mathbf{e} \mathbf{u}], \quad \mathbf{e} = (0, 0, 1).$$

Здесь  $\nu$ ,  $\chi$  — турбулентные коэффициенты вязкости и теплопроводности. Так как значения турбулентной вязкости и теплопроводности близки друг к другу [1—3], в дальнейшем будем считать, что  $\nu = \chi$ . Коэффициент  $\lambda$  связан со спиральностью турбулентных пульсаций. Остальные обозначения стандартные [2].

Для перехода к безразмерным переменным введем масштабы [2]: длина  $x_0 = H$  (высота слоя жидкости), время  $t_0 = H^2/\nu$ , скорость  $u_0 = \nu/H$ , давление  $p_0 = \rho_0 \nu^2/H^2$ , температура  $T_0 = AH$ .

Тогда получим

$$(1) \quad \partial \mathbf{u} / \partial t = -\nabla p + \Delta \mathbf{u} + \operatorname{Ra} \theta \mathbf{e} + \operatorname{Ra} S \mathbf{f}, \quad \partial \theta / \partial t = (\mathbf{e} \mathbf{u}) + \Delta \theta, \\ \operatorname{div} \mathbf{u} = 0, \quad \mathbf{f} = \mathbf{e}(\mathbf{e} \operatorname{rot} \mathbf{u}) - (\mathbf{e} \nabla)[\mathbf{e} \mathbf{u}], \quad \mathbf{e} = (0, 0, 1),$$

где  $\operatorname{Ra}$  — число Рэлея;  $S$  — коэффициент, связанный со спиральностью турбулентных пульсаций ( $\operatorname{Ra} = \beta g A H^4 / \nu^2$ ,  $S = \lambda \nu / H^3$ ).

Рассмотрим бесконечный горизонтальный слой жидкости, заключенный между плоскостями  $z = 0$  и  $z = 1$ , и случай, когда  $\mathbf{u} = (u, v, w)$  и  $\theta$  есть

$$u = u'(z) \sin kx \exp(\gamma t), \quad v = v'(z) \sin kx \exp(\gamma t), \\ w = w'(z) \cos kx \exp(\gamma t), \quad \theta = \theta'(z) \cos kx \exp(\gamma t).$$

В цилиндрическом случае вместо  $\cos kx$  нужно взять функцию Бесселя нулевого порядка  $J_0(kr)$ , а вместо  $\sin kx$  — функцию Бесселя первого порядка  $J_1(kr)$ . Результаты при этом не изменятся. Тогда уравнения (1) примут вид (штрих у  $u'$ ,  $v'$ ,  $w'$ ,  $\theta'$  опущен)

$$(2) \quad (\gamma + k^2)u - \frac{d^2 u}{dz^2} = kp + \operatorname{Ra} S \frac{dv}{dz}, \quad (\gamma + k^2)v - \frac{d^2 v}{dz^2} = -\operatorname{Ra} S \frac{du}{dz}, \\ (\gamma + k^2)w - \frac{d^2 w}{dz^2} = -\frac{dp}{dz} + \operatorname{Ra} \theta + \operatorname{Ra} S k v, \quad (\gamma + k^2)\theta - \frac{d^2 \theta}{dz^2} = w, \quad \frac{dw}{dz} + ku = 0.$$

Для горизонтального слоя со свободными границами в случае обычной конвекции собственные функции пропорциональны  $\sin n\pi z$  и при  $z = 0, 1$  вертикальная компонента скорости равна нулю. Такие собственные функции при конвекции со спиральной турбулентностью отвечают периодическим по  $z$  граничным условиям. Подставив в (2) собственные функции  $w \sim \sin \pi z$ ,  $u \sim \cos \pi z$  и т. д., соответствующие нижней гармонике, получим для инкремента с волновым числом  $k$  выражение [1]

$$\gamma = \left( \frac{\operatorname{Ra}^2 S^2 \pi^2 (\pi^2 - k^2) + \operatorname{Ra} k^2}{\pi^2 + k^2} \right)^{1/2} - (\pi^2 + k^2).$$

Полагая  $\gamma = 0$ , найдем зависимость критического числа Рэлея  $\operatorname{Ra}_0$  от  $k$ :

$$\operatorname{Ra}_0 = \frac{(k^4 + 4\pi^2(\pi^2 + k^2)^3(\pi^2 - k^2)S^2)^{1/2} - k^2}{2\pi^2(\pi^2 - k^2)S^2}.$$

Анализ зависимости  $\operatorname{Ra}_0(k, S)$  дан в [1].

Коэффициент спиральности можно определить как  $s = Ra S$ . Такая форма записи оказывается более удобной для исследований свойств нейтральных кривых. В этом случае

$$(3) \quad \gamma = \left( \frac{s^2 \pi^2 (\pi^2 - k^2) + Ra k^2}{\pi^2 + k^2} \right)^{1/2} - (\pi^2 + k^2),$$

$$Ra_0 = \frac{(\pi^2 + k^2)^3 - s^2 \pi^2 (\pi^2 - k^2)}{k^2}.$$

Нейтральные кривые  $Ra_0(k, s)$  представлены на рис. 1. Кривые 1—5 отвечают  $s = 0; 0,8\pi; \pi; 1,3\pi; 2\pi$ . Увеличение  $s$  в интервале от 0 до  $\pi$  приводит к смещению минимума нейтральной кривой в область длинных волн и уменьшению минимального числа Рэлея. Если  $s$  стремится к  $\pi$ , то минимальное число Рэлея стремится к  $4\pi^4 \approx 389$ . Значения  $s$ , равное  $s_* = \pi$ , и  $Ra$ , равное  $Ra_* = 4\pi^4$ , являются выделенными: при  $s < s_*$  всегда имеется область устойчивых длинноволновых гармоник, при  $s = s_*$  и  $Ra > Ra_*$  такая область отсутствует, т. е. неустойчивыми становятся даже возмущения с бесконечной длиной волны. При  $s > s_*$  нейтральные кривые не имеют точек минимума и волны с  $k = 0$  будут неустойчивыми при любом  $Ra$ . При первоначальном определении это означает, что при  $S Ra > S_* Ra_*$  ( $S_* = s_*/Ra_*$ ) возмущения с  $k = 0$  становятся неустойчивыми, т. е.

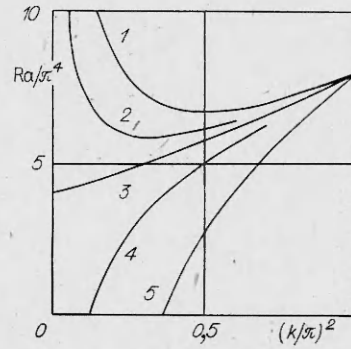


Рис. 1

$$(4) \quad Ra_0(k=0, S) = Ra_* S_*/S.$$

Для других граничных условий  $Ra_*$  и  $S_*$  меняются, но характер нейтральной кривой в зависимости от  $k$  и  $s$  остается прежним. Поэтому формула (4) универсальна для любых граничных условий.

Поскольку нас интересует вопрос о развитии длинноволновых возмущений, рассмотрим условия, при которых максимум инкремента  $\gamma$  будет лежать в длинноволновой области ( $k \ll \pi$ ), т. е. исследуем поведение  $\gamma(Ra, s)$  при малых  $k$ . Легко показать, что при  $|s - s_*| \ll s_*$  и  $k^2 \ll \pi^2$  инкремент и  $Ra_0(k, s)$  имеют вид

$$(5) \quad \gamma = \alpha (s - s_*) + \eta \frac{Ra - Ra_*}{Ra_*} k^2, \quad Ra_0 = Ra_* \left( 1 - \frac{\alpha (s - s_*)}{\eta k^2} \right) \quad (\alpha = \pi, \eta = 2).$$

При первоначальном определении спиральности для  $Ra_0(k, S)$  находим выражение

$$Ra_0 = Ra_* \frac{S_*}{S} \left( 1 + \frac{\eta}{\alpha Ra_*} \frac{S - S_*}{S_*^2} k^2 \right).$$

Остановимся на случае свободных граничных условий при  $z = 0, 1$ . В теории обычной конвекции свободными называются границы, на которых исчезают касательные напряжения, т. е. выполняется условие  $\partial u/\partial z = \partial v/\partial z = 0$ . Уравнения конвекции при наличии спиральной турбулентности отличаются от уравнений Буссинеска, на основе которых строится теория обычной конвекции, поэтому условия свободных границ должны быть переформулированы. Запишем уравнение (1) в виде

$$\partial u_i / \partial t = -\partial \sigma_{ik} / \partial x_k, \quad \sigma_{ik} = p \delta_{ik} - (\partial u_i / \partial x_k + \partial u_k / \partial x_i) +$$

$$+ Ra S (e_i \varepsilon_{kmn} + e_k \varepsilon_{imn}) u_m e_n.$$

Определим свободную границу как границу, на которой исчезают касательные напряжения, т. е.  $\sigma_{xz} = \sigma_{yz} = 0$ . Так как  $\sigma_{xz} = \partial u/\partial z + Ra S v$ ,  $\sigma_{yz} = \partial v/\partial z - Ra S u$ , то свободные граничные условия при наличии спиральности примут вид  $\partial u/\partial z = -Ra S v$ ,  $\partial v/\partial z = Ra S u$ .

Считаем по-прежнему, что  $\theta$  на границе равна нулю. Полностью задача о нейтральных кривых в этом случае не решается, однако найти  $Ra_*$ ,  $S_*$ ,  $\alpha$ ,  $\eta$  можно. Для этого удобно использовать следующие пере-

обозначения:  $u = u'$ ,  $v = sv'$ ,  $w = kw'$ ,  $\theta = k\theta'$ . Введем завихренность  $f = \partial u'/\partial z + k^2 w'$ . Тогда система (2) переписется (штрих у  $u'$ ,  $v'$ ,  $w'$ ,  $\theta'$  опущен):

$$(6) \quad \begin{aligned} \gamma f &= \partial^2 f - k^2 f + s^2(\partial^2 v + k^2 v) + \text{Ra } k^2 \theta, \\ \gamma v &= \partial^2 v - k^2 v + \partial^2 w, \\ \gamma \theta &= \partial^2 \theta - k^2 \theta + w, \quad \partial^2 w - k^2 w = -f, \quad \partial \equiv \partial/\partial z. \end{aligned}$$

Граничные условия при  $z = 0, 1$ :

$$(7) \quad \theta = w = f + s^2 v = \partial v + \partial w = 0.$$

В дальнейшем удобно взять функцию  $\psi$ :  $\partial\psi = v$ . Тогда с учетом (7) второе уравнение системы (6) запишем как  $\gamma\psi = \partial^2\psi - k^2\psi + \partial w$ . Граничными условиями будут  $\theta = w = f + s^2 v = \psi = 0$ .

Вычислим  $s_*$  и  $\alpha$ . Для этого положим  $k^2 = 0$ . Пусть  $s = s_* + \mu$ , где  $|\mu| \ll s_*$ . В этом случае инкремент  $\gamma$  порядка  $\mu$ . Будем искать решение системы (6) как разложение по этому малому параметру. Нулевое приближение имеет вид

$$\partial^2 f_0 + s_*^2 \partial^2 v_0 = 0, \quad \partial^2 \psi_0 + \partial w_0 = 0, \quad \partial^2 w_0 = -f_0, \quad v_0 = \partial\psi_0.$$

Граничные условия в нулевом приближении:  $w_0 = \psi_0 = f_0 + s_*^2 v_0$ . Отсюда легко получить, что

$$(8) \quad \begin{aligned} v_0 &= \cos s_* (z - 1/2), \quad f_0 = -s_*^2 v_0, \\ w_0 &= -(v_0 + 1), \quad \psi_0 = s_*^{-1} \sin s_* (z - 1/2), \quad s_* = 2\pi. \end{aligned}$$

Первое приближение выглядит следующим образом:

$$\begin{aligned} \partial^2 f_1 + s_*^2 \partial^2 v_1 &= \gamma f_0 - 2s_* \mu \partial^2 v_0, \\ \partial^2 \psi_1 + \partial w_1 &= \gamma \psi_0, \quad f_1 = -\partial^2 w_1, \quad v_1 = \partial\psi_1. \end{aligned}$$

Граничные условия при  $z = 0, 1$  имеют вид

$$w_1 = \psi_1 = f_1 + s_*^2 v_1 + 2s_* \mu w_0 = 0,$$

отсюда

$$(9) \quad \begin{aligned} f_1 + s_*^2 v_1 &= \gamma F - 2s_* \mu w_0, \\ v_1 + w_1 &= \gamma \int \psi_0 dz + C, \quad f_1 = -\partial^2 w_1. \end{aligned}$$

Здесь  $F$  — вторая первообразная от  $f_0$ , которая обращается в нуль при  $z = 0, 1$ . Легко видеть, что  $F = v_0 + 1$  (см. (8)). В качестве  $\int \psi_0 dz$  взята для определенности функция  $(-v_0/s_*)$ , а константа интегрирования обозначена  $C$ . Тогда из (9) получим

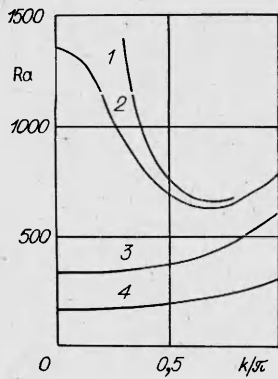
$$\partial^2 w_1 = -s_*^2 w_1 + 2(s_* \mu - \gamma)v_0 - \gamma + s_*^2 C.$$

Условие разрешимости этого уравнения даст инкремент  $\gamma$ . Умножим это уравнение на  $w_0$  и проинтегрируем от 0 до 1. Взяв интеграл в левой части по частям с учетом граничных условий и формул (8), находим выражение

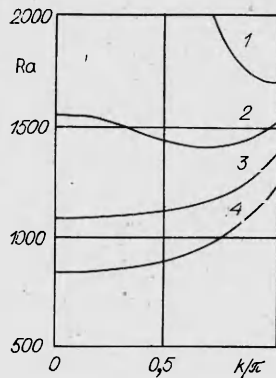
$$-s_*^2 \int_0^1 w_1 dz = 2\gamma - s_* \mu - s_*^2 C.$$

Так как  $\int_0^1 v_1 dz = \int_0^1 \partial\psi_1 dz = 0$ , то, проинтегрировав второе уравнение системы (9), получим

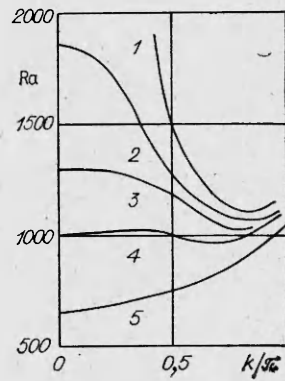
$$\int_0^1 w_1 dz = C.$$



Р и с. 2



Р и с. 3



Р и с. 4

Отсюда окончательно имеем  $\gamma = s_*/2\mu \equiv \pi(s - s_*)$ . Таким образом,  $\alpha = \pi$ .

Вычислим  $\eta$  и  $Ra_*$ . Для этого положим  $s = s_*$ ,  $v = v_0 + k^2v_1$ ,  $w = w_0 + k^2w_1$ ,  $\theta = \theta_0 + k^2\theta_1$ ,  $\gamma = \xi k^2$  и т. д. Для  $v_0$ ,  $w_0$ ,  $f_0$ ,  $\psi_0$  имеем выражение (8), для  $\theta_0$  — уравнение  $\partial^2\theta_0 = -w_0$  с граничными условиями  $\theta_0(0) = \theta_0(1) = 0$ , которое легко решается. Первое приближение по  $k^2$ :

$$\begin{aligned} \partial^2 f_1 + s_*^2 \partial^2 v_1 &= (1 + \xi) f_0 - s_*^2 v_0 - Ra \theta_0, \\ \partial^2 v_1 + \partial^2 w_1 &= (1 + \xi) v_0, \quad \partial^2 w_1 + f_1 = w_0. \end{aligned}$$

Далее поступаем так же, как при вычислении коэффициента  $\alpha$ . Условие разрешимости этих уравнений в данном случае дает

$$\xi = \frac{5}{2} \left[ Ra \frac{s_*^4 + 20s_*^2 + 420}{600s_*^4} - 1 \right].$$

Так как  $\gamma = \xi k^2 = \eta \frac{Ra - Ra_*}{Ra_*} k^2$ , то

$$\eta = 5/2, \quad Ra_* = 600s_*^4 / (s_*^4 + 20s_*^2 + 420) \approx 337,8, \quad S_* = s_*/Ra_* \approx 1,86 \cdot 10^{-2}.$$

В общем случае нейтральные кривые получены численно. На рис. 2 кривые 1–4 отвечают  $S = 0; 0,25S_*; S_*; 2S_*$ . Увеличение спиральности от 0 до  $S_*$  приводит к смещению минимума нейтральной кривой в сторону длинных волн и уменьшению значения этого минимума. При  $S \geq S_*$  минимум достигается в точке  $k = 0$  и равен  $Ra_* S_*/S$  (см. (4)).

Рассмотрим случай, когда на обеих границах поставлены условия прилипания, т. е. все скорости обращаются в нуль:  $u = v = w = 0$ . Аналогичные вычисления дают  $s_* = 2\pi$ ,  $\alpha = \pi$ ,  $\eta = 2$ ,  $Ra_* = 384\pi^4 / (2\pi^2 + 15) \approx 1077,96$ ,  $S_* \approx 5,83 \cdot 10^{-3}$ .

На рис. 3 изображены нейтральные кривые для этих граничных условий, найденные численно: 1–4 для  $S = 0; 0,7S_*; S_*; 1,3S_*$ .

В случае, когда на нижней границе ( $z = 0$ ) поставлены условия прилипания, а верхняя граница ( $z = 1$ ) свободная, имеем

$$s_* = \text{tg } s_* \approx 4,4934, \quad \alpha = \frac{3s_*}{4+C} \approx 1,1756,$$

$$Ra_* = (8+C) \frac{90s_*^4}{315+6s_*^2} \approx 1301,12, \quad \eta = \frac{8+C}{4+C} \approx 1,3488,$$

$$S_* = s_*/Ra_* \approx 3,4535 \cdot 10^{-3},$$

где  $C = 3 \left( \frac{s_*}{6} + A \right) A$ ,  $A = \frac{1}{s_*} - \left( 1 + \frac{1}{s_*^2} \right) \sin s_*$ .

Нейтральные кривые представлены на рис. 4: 1–5 для  $S = 0; 0,7S_*; S_*; 1,3S_*; 2S_*$ . Отметим, что  $Ra_* \approx 1301$  больше минимального числа 5 ПМТФ № 1, 1990 г.

Рэлея при  $S = 0$ , которое примерно равно 1100, поэтому при  $S = S_*$  точка  $k = 0$  является точкой локального минимума и возмущения с  $k = 0$  становятся самыми неустойчивыми при больших  $S$ :  $S \gtrsim 1,4S_*$ .

Таким образом, рассматривая все проанализированные случаи, можно сказать, что увеличение спиральности от 0 до некоторого значения  $S_*$  приводит к смещению минимума нейтральной кривой  $Ra_0(k, S)$  в сторону малых волновых чисел  $k$  и, следовательно, к росту горизонтального размера конвективных ячеек. При  $S \geq S_*$  минимум достигается при  $k = 0$  и горизонтальный размер ячеек ограничивается внешними условиями (например, горизонтальной неоднородностью).

#### ЛИТЕРАТУРА

1. Моисеев С. С., Руткевич П. Б., Тур А. В., Яновский В. В. Вихревое динамо в конвективной среде со спиральной турбулентностью // ЖЭТФ. — 1988. — Т. 94, вып. 2.
2. Гершуни Г. З., Жуховицкий Е. М. Конвективная неустойчивость несжимаемой жидкости. — М.: Наука, 1972.
3. Монин А. С., Яглом А. М. Статистическая гидромеханика. — М.: Наука, 1965. — Ч. 1.

е. Новосибирск

Поступила 10/X 1988 г.

УДК 532.529

В. А. Наумов

### ВЛИЯНИЕ МЕЖФАЗНОГО МАССООБМЕНА НА ТУРБУЛЕНТНУЮ ЭНЕРГИЮ ТЕЧЕНИЯ ГАЗОВЗВЕСИ

Полуэмпирические модели турбулентности на основе уравнения переноса пульсационной энергии широко используются для расчета течений газозвеси (см. [1—3] и библиографию в них). В настоящее время предпринимаются попытки применить указанные модели для описания течений газозвеси с фазовыми переходами (например, в [3] с учетом гетерогенного горения дисперсных частиц). В настоящей работе анализируется непосредственное влияние межфазного массообмена на турбулентную энергию несущей среды.

1. Уравнение переноса пульсационной энергии. При наличии фазовых переходов уравнения сохранения массы и количества движения несущей фазы записываются [4] как

$$(1.1) \quad \partial \rho / \partial t + \nabla \cdot (\rho \mathbf{V}) = J;$$

$$(1.2) \quad \rho d\mathbf{V}/dt = -\nabla p + \nabla \tau - \mathbf{F} + J(\mathbf{V}_p - \mathbf{V}),$$

где  $\rho$ ,  $\mathbf{V}$  — распределенная плотность и скорость несущей фазы; индекс  $p$  относится к дисперсной фазе;  $J$  — интенсивность межфазного массообмена;  $p$  — давление;  $\tau$  — касательное напряжение;  $\mathbf{F}$  — сила межфазного взаимодействия.

Из (1.1), (1.2) по известной методике (см., например, [3]) можно получить уравнение для пульсационной энергии несущей среды  $k$ , которое в пренебрежении пульсациями плотности газа  $\rho'$  имеет вид

$$(1.3) \quad \rho \mathbf{V} \nabla k = \nabla [\mu \nabla k - \rho \langle \mathbf{V}' (\frac{1}{2} \mathbf{V}'^2 + p'/\rho) \rangle] - \\ - \rho \langle \mathbf{V}' \mathbf{V}' \rangle \nabla \mathbf{V} + \frac{1}{3} \mu \langle \mathbf{V}' \nabla (\operatorname{div} \mathbf{V}') \rangle + \langle p' \nabla \mathbf{V}' \rangle - \rho (\epsilon + \epsilon_p + \epsilon_J).$$

Здесь и далее штрих означает пульсационную составляющую, остальные величины осреднены по времени;  $\rho \epsilon = \mu \sum_{ij} \langle (\partial V'_i / \partial x_j)^2 \rangle$  — скорость вязкой диссипации турбулентной энергии;  $\mu$  — коэффициент динамической вязкости газа;  $\rho \epsilon_p = \sum_i \langle F'_i V'_i \rangle$  — диссипативный член, обусловленный динамическим взаимодействием фаз в пульсационном движении.